

Fig. 2.10: Curvas para Determinar la Profundidad del Sedimento en el Dique. (Aguirre,1980).

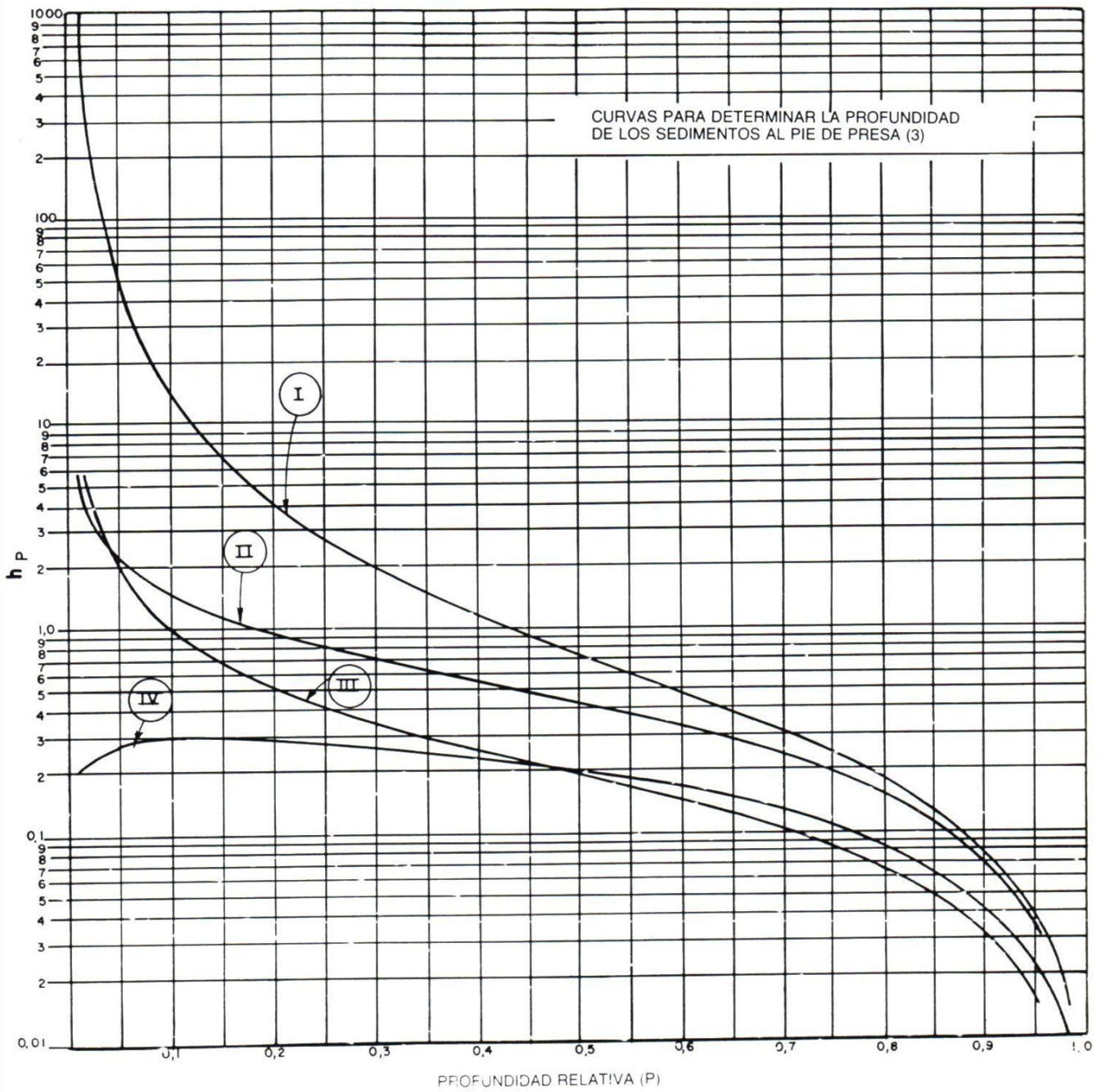


FIGURA 7.11

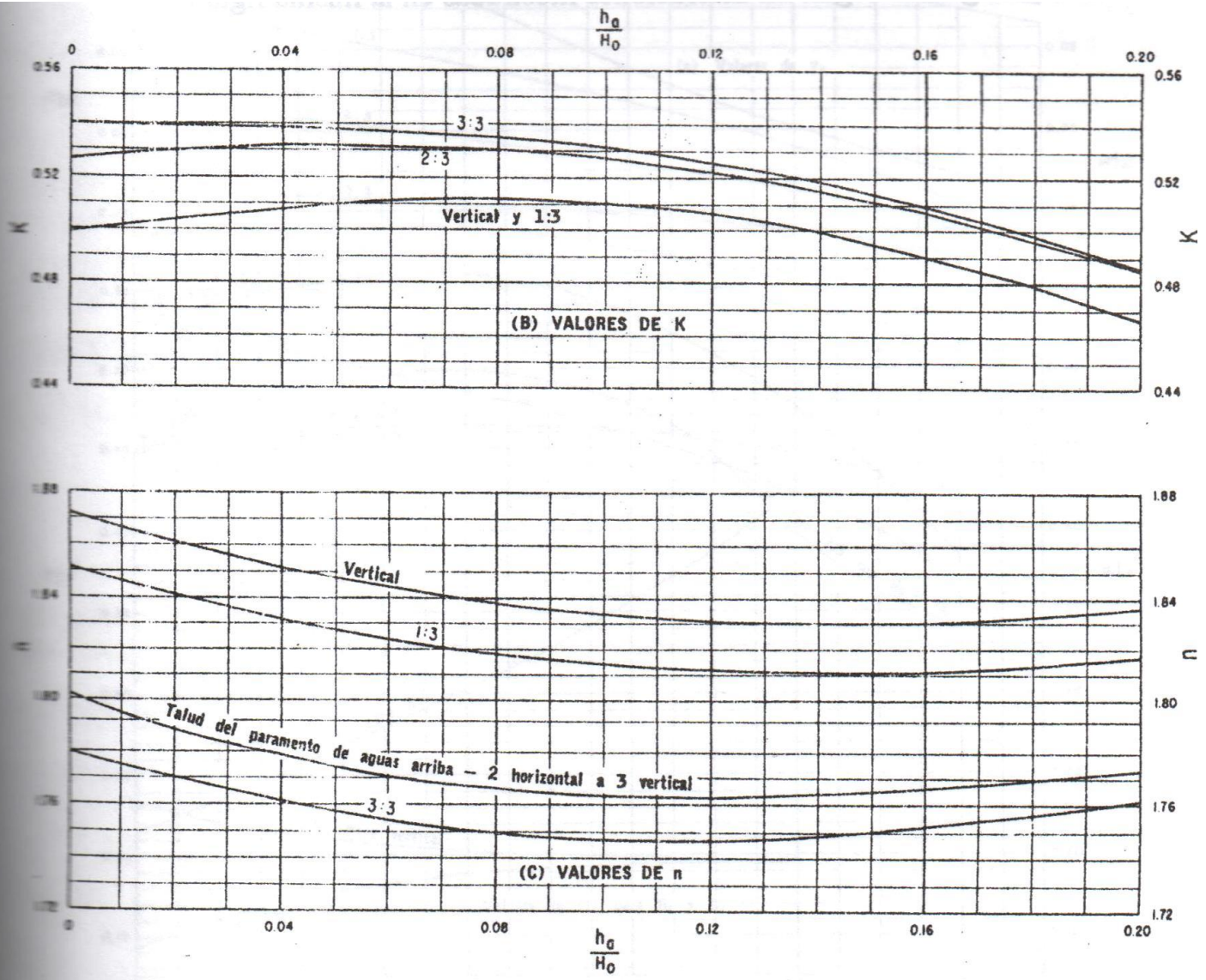


Fig. 2.26 Coeficientes k y n vs (h_a / H_0) para diferentes taludes.

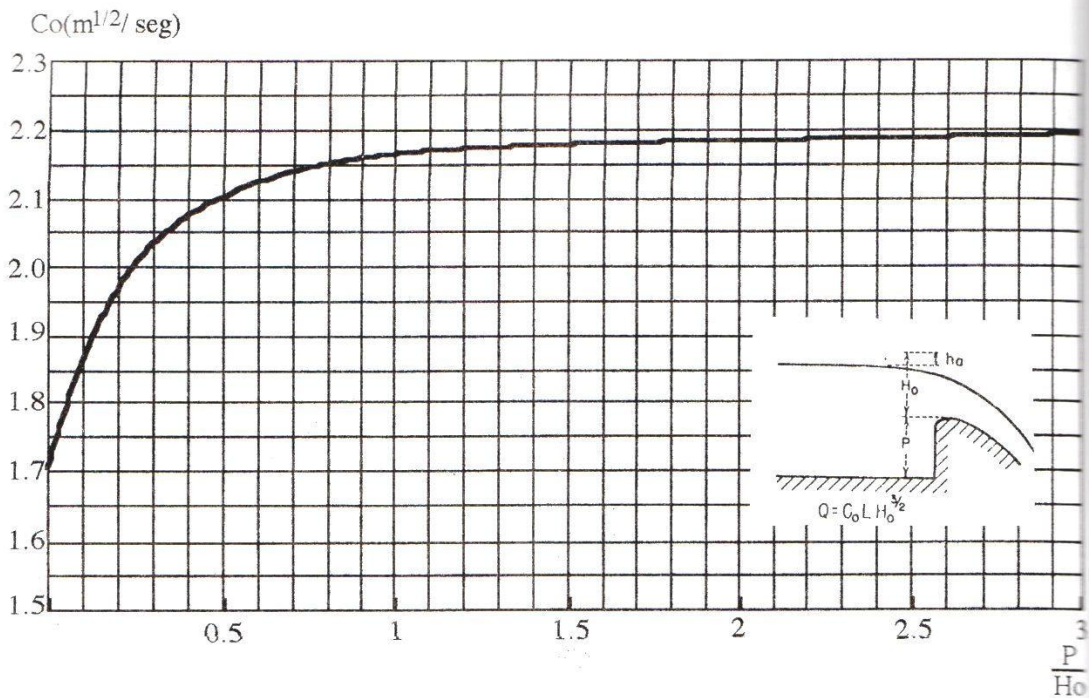


Fig. 2.28 Coeficientes de descarga $C_0(m^{1/2}/seg)$ para cimacio con paramento vertical.

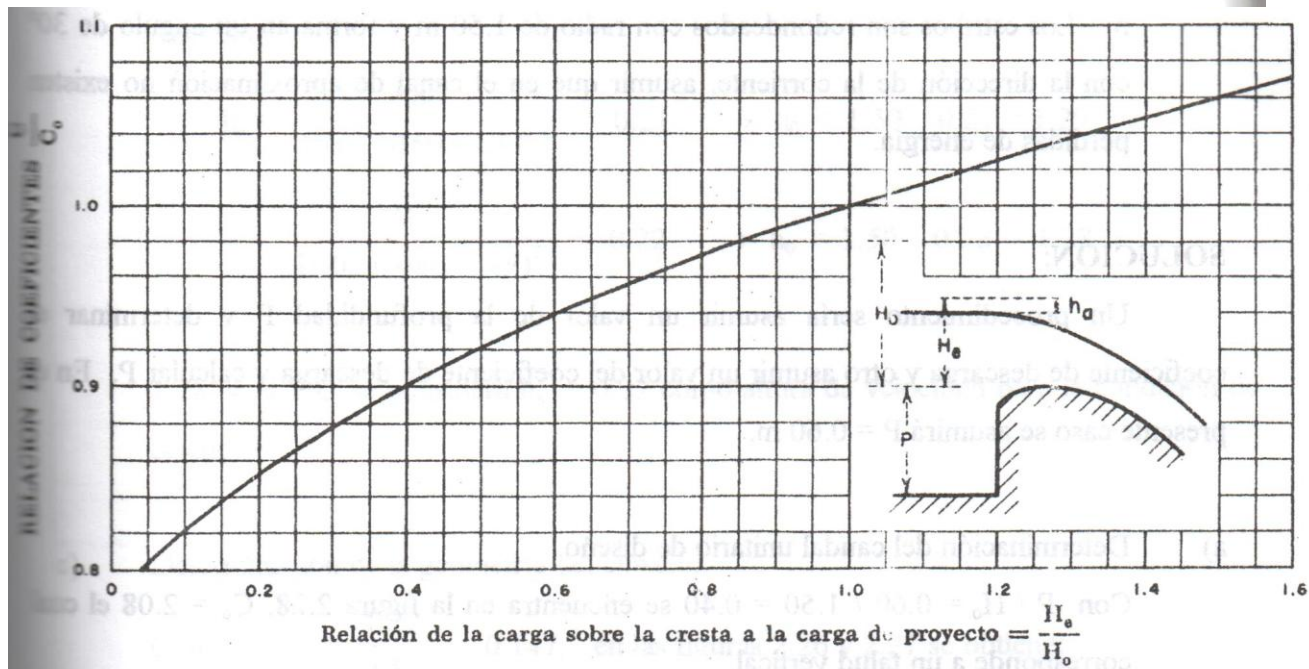


Fig. 2.30 Coeficientes de descarga para cargas diferentes a la de proyecto.

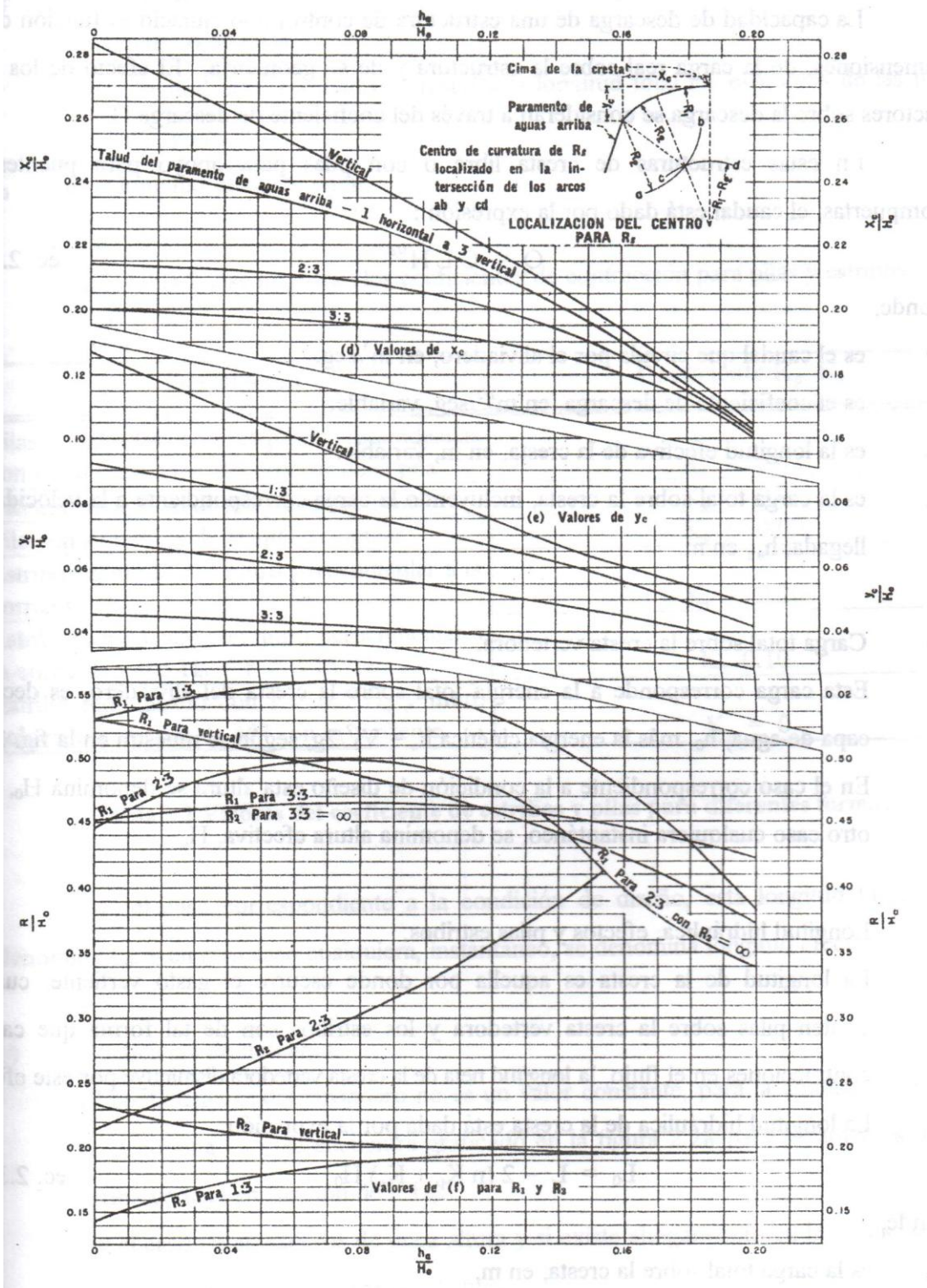


Fig. 2.27 Factores para determinar la forma geométrica del aliviadero.

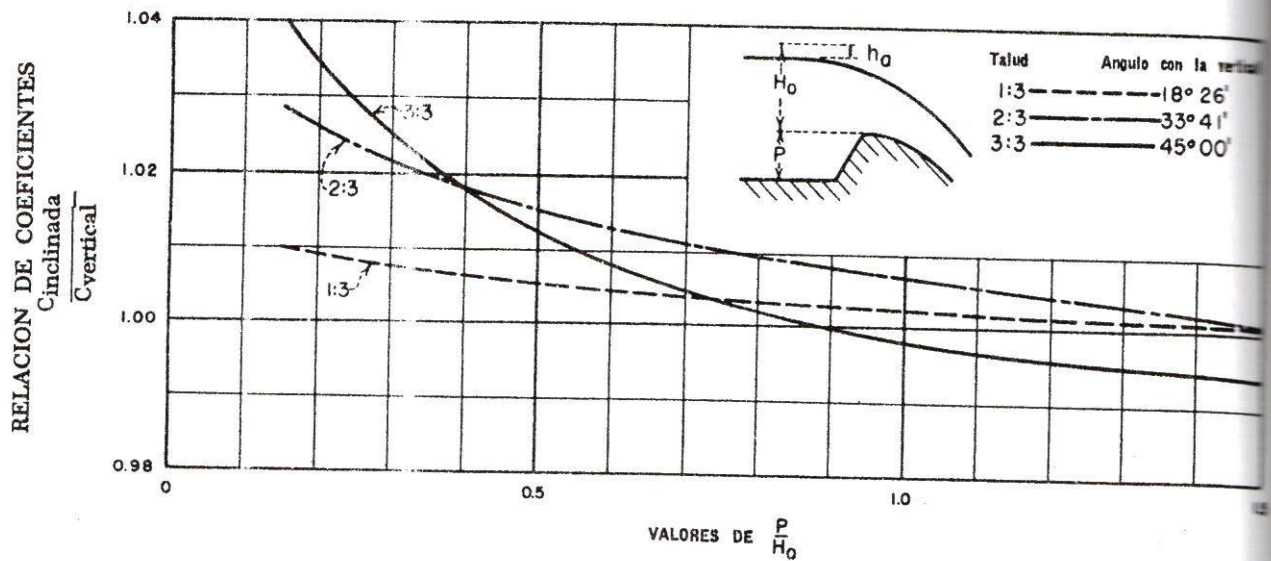


Fig. 2.29 Factor de corrección del coeficiente C_0 para diferentes taludes de aguas arriba.

VERTEDORES DE DEMASIAS

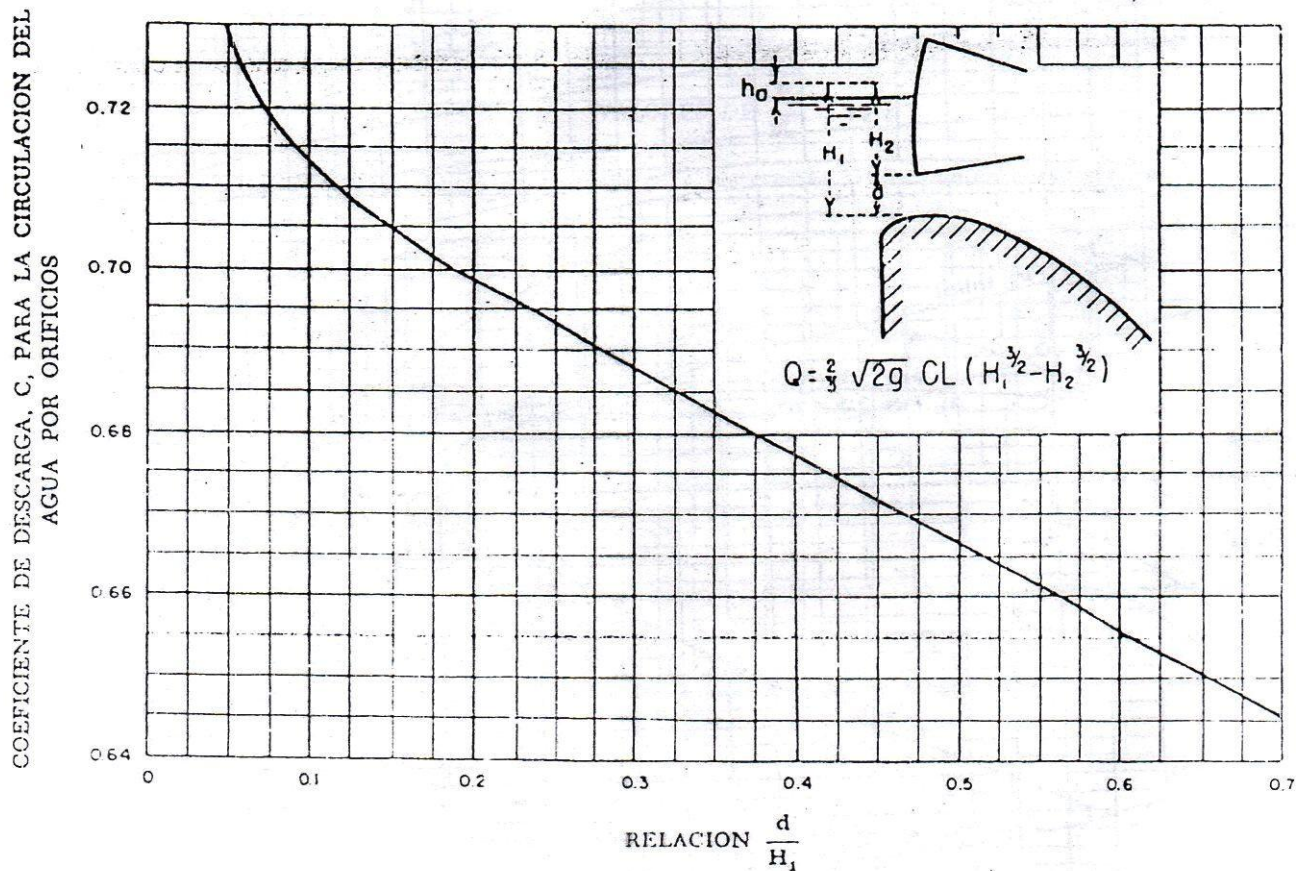
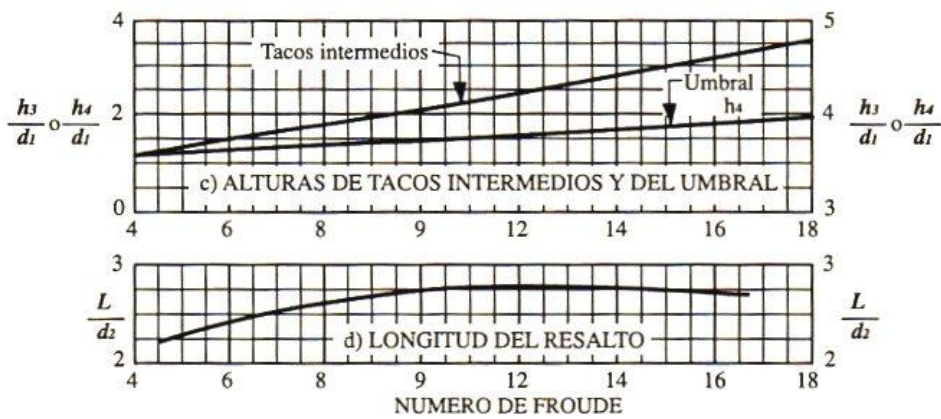
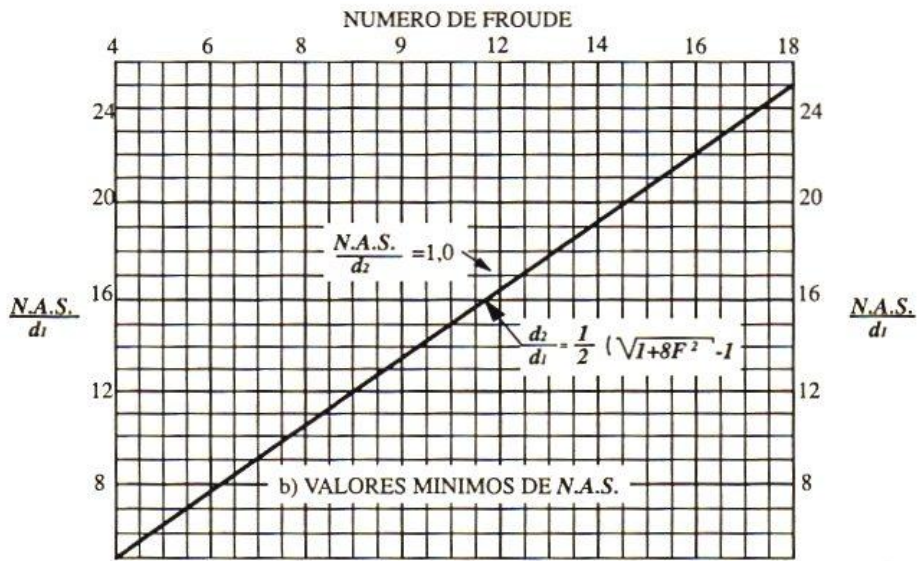
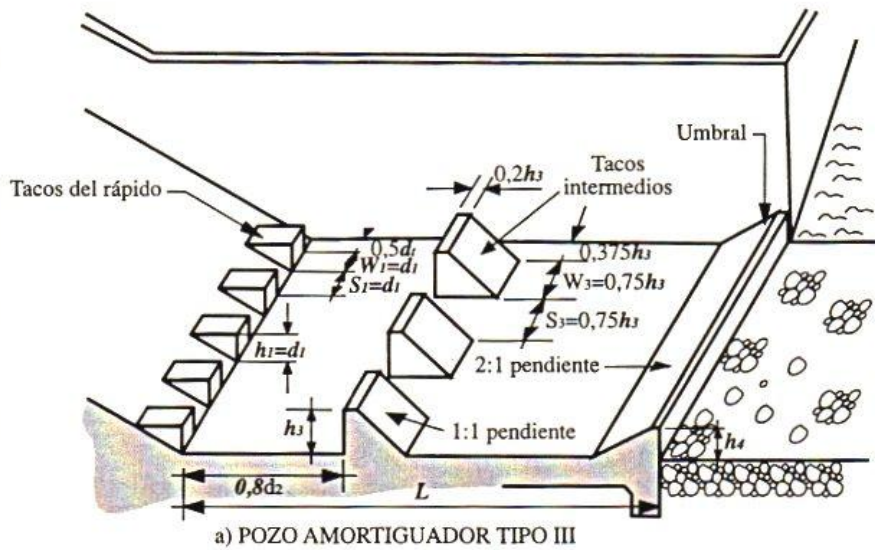


Fig.- 2-11 Coeficiente de descarga para la circulación del agua bajo las compuertas



Fuente: Referencia (14)

Figura 7.62
 Pozo amortiguador Tipo III - Números de Froude mayores de 4,5 y velocidades (V_1) inferiores a 15 m/seg